

Neue Studie: Seit den 1980er Jahren gibt es entlang der nördlichen Antarktischen Halbinsel weder eine lineare Erwärmung noch einen Gletscherschwund

geschrieben von Chris Frey | 20. April 2026

[Kenneth Richard](#)

Die Ursachen für die Erwärmung und den Gletscherschwund im antarktischen Klima stehen nicht im Einklang mit einem linear ansteigenden Trend des atmosphärischen CO₂-Gehalts.

[Wissenschaftler](#) (Park et al., 2026) haben festgestellt, dass die Muster der Lufttemperatur, der Meerestemperatur und des Gletscherschwunds in der Nähe der King-George-Insel (nördlich der nördlichsten Spitze der Antarktischen Halbinsel) in den letzten vier Jahrzehnten mit den negativen bis positiven Phasen des Southern Annual Mode (SAM) und natürlichen Wechselwirkungen zwischen Ozean und Atmosphäre übereinstimmen.

Phasen der Abkühlung und des Gletschervorstoßes wechseln sich mit Phasen der Erwärmung und eines deutlichen Gletscherrückgangs ab, folgen jedoch weder einem linear ansteigenden Muster noch den Trends bei den Treibhausgasemissionen.

Die Wissenschaftler stellen einen allgemeinen Rückgang der Gletscherrückgangsraten von Mitte der 1990er Jahre bis 2015 fest, als „kühlere Phasen den Rückgang verlangsamten“.

Die Studie „zeigt, wie gekoppelte Wechselwirkungen zwischen Fjordgeometrie, Ozean und Atmosphäre das Rückzugsverhalten bestimmen“.

Menschliche Aktivitäten beeinflussen weder die Erwärmung noch den Gletscherrückzug.

International Journal of Applied Earth Observation and Geoinformation
 Online verfügbar ab 6. Januar 2026
 Klimatologische und geologische Faktoren für die Rückzugsmuster von Gletschern in Marian Cove, King George Island: Eine Fernerkundungsstudie von 1956 bis 2022

Ji-Eun Park ^a, Hyun-Cheol Kim ^b, Sung-Jae Lee ^a, Hyoungseok Lee ^c

Der Gletschergletscher in Marian Cove hat sich in den letzten sechs Jahrzehnten erheblich in Richtung der Küstenklippen zurückgezogen. Mithilfe von 19 Satelliten- und Luftbildern aus den Jahren 1956 bis 2022 quantifizierten wir die Frontveränderungen entlang von 17 Transekten, die durch Gletscheranränderung und Topographie definiert wurden. Der Gletscher zeigte ein nichtlineares Rückzugsmuster mit wechselnden Phasen von schnellem Rückzug, langsamerem Rückzug und kurzen Vorstößen. Die mittleren Rückzugsraten schwankten im Untersuchungszeitraum zwischen -10,8 und 178 m pro Jahr². Von 1956 bis 1978 blieb die Gletscherzunge stabil, solange sie auf einer flachen Schwelle auflag, aber die Ablösung von dieser topographischen Kontrolle leitete einen anhaltenden Rückzug ein. Der Beginn des starken Rückzugs fiel mit einem Übergang von negativen zu positiven Anomalien des Southern Annular Mode (SAM) zusammen, was die atmosphärische Erwärmung verstärkte und den Wärmetransport durch den Ozean förderte. Der Rückzug beschleunigte sich während positiver Ozean- und Lufttemperaturanomalien, während kühlere Phasen den Rückzug verlangsamten. Die Variabilität entlang der Transekte war stark mit der Bathymetrie und der vertikalen Temperaturschichtung verknüpft. Zeitreihen der Oberflächenhöhe zeigten eine Ausdünnung des Landeises nach 2017, die dem schnellen Rückzug zwischen 2017 und 2019 entspricht. Durch die Integration der längsten Aufzeichnung von Gletscherfrontveränderungen in Marian Cove mit Umweltbeobachtungen zeigt diese Studie, wie gekoppelte Wechselwirkungen zwischen Fjordgeometrie, Ozean und Atmosphäre das Rückzugsverhalten bestimmen. Diese Erkenntnisse verbessern das Verständnis der Empfindlichkeit von Gletschergletschern auf der nördlichen Antarktischen Halbinsel gegenüber dem Klimawandel.

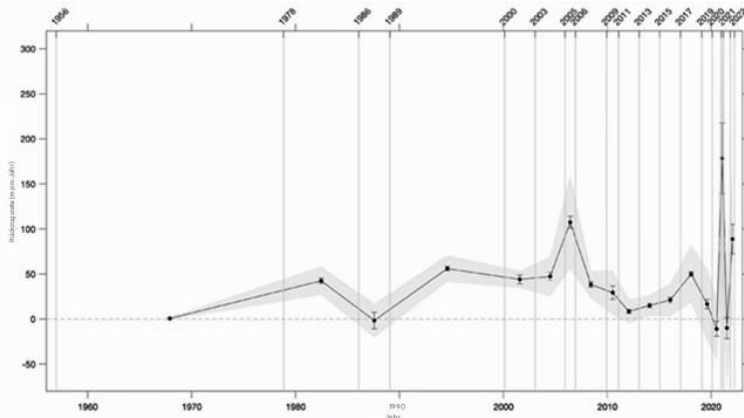
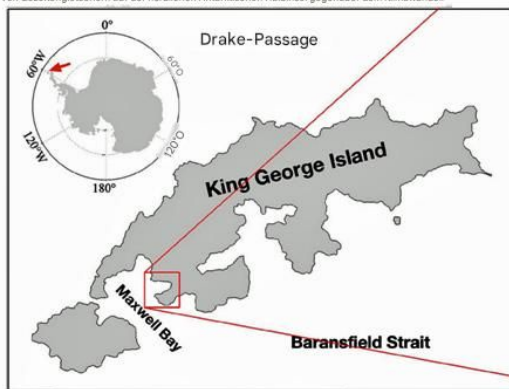


Abb. 6. Mittlere Rückzugsraten zwischen aufeinanderfolgenden Bildpaaren (m Jahr⁻¹) über alle Transekte hinweg. Die Fehlerbalken stellen die Unsicherheiten der Raten dar, und die schattierte Hülle zeigt die Standardabweichung zwischen den Transekten an. Graue vertikale Linien markieren die Daten der Bildaufnahmen.

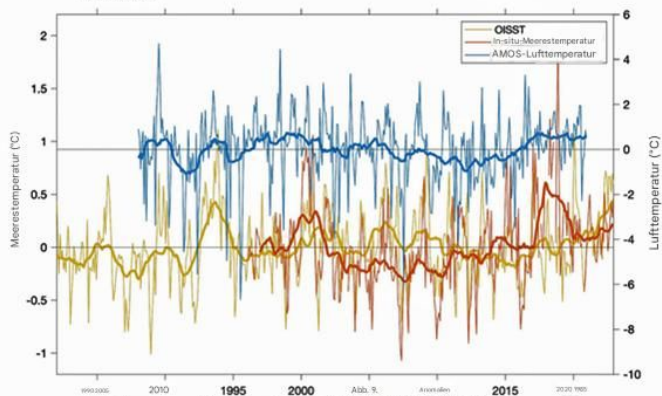


Abb. 8. In situ gemessene Meerestemperatur (1996–2022), der OISST- (1982–2022) und der AMOS-Lufttemperatur (1988–2022) an der King Sejong Station. Dicke Linien stellen den gleitenden 25-Monats-Mittelwert jeder Zeitreihe dar.

Quelle: [Park et al., 2026](#)

[Zum Vergrößern anklicken](#)

Elephant Island liegt nur 130 km nordöstlich von King George Island. Dort leben zahlreiche Pinguine und Robben.

Eine aktuelle [Studie](#) (Atkinson et al., 2022) berichtet von einer signifikanten (ca. -0,75 °C) Abkühlung auf Elephant Island (lila) seit den 1990er Jahren, was mit der Abkühlung entlang Südgeorgiens, der Scotia-See und der gesamten Westantarktischen Halbinsel in den letzten Jahrzehnten übereinstimmt.

Trittsteine in Richtung Antarktis: Wechsel zu südlichen Laichgründen erklärt eine abrupte Verbreitungsverschiebung beim Krill

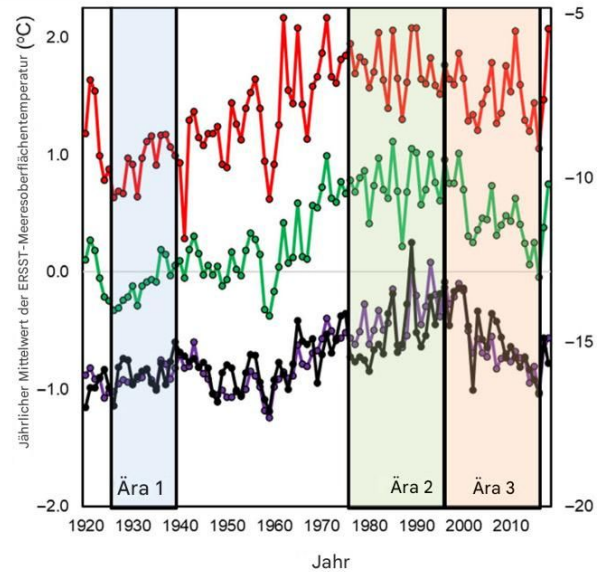
Angus Atkinson, Simeon L. Hill, Christian S. Reiss, Evgeny A. Pakhomov, Gregory Beaugrand, Geraint A. Tarling, Guang Yang, Deborah K. Steinberg, Katrin Schmidt, Martin Edwards, Emilce Rombolá, Frances A. Pery



Jährlicher Mittelwert der ERSST
Meeresoberflächentemperatur (1920–2018)
in ausgewählten 2° Breitengrad x 2°
Längengrad-Gitterzellen im Südwestatlantik. Die
Gitterzellen waren Südgeorgien (Zelle
zentriert bei 54°S, 36°W), Scotia-See (58°S,
42°W), Elephant Island (62°S, 56°W) und die
Westantarktische Halbinsel (66°S, 70°W).

—●— Südgeorgien
—●— Scotia-See
—●— Elephant Island
Westantarktische Halbinsel

Innerhalb des 90-jährigen Zeitraums hat sich das Oberflächenwasser des südwestlichen Atlantiksektors viel stärker erwärmt als der globale Ozeandurchschnitt oder der Durchschnitt des Südlichen Ozeans (Meredith & King, 2005; Whitehouse et al., 2008). Basierend auf den jährlichen Mittelwerten des ERSST (Abbildung 1) für eine Reihe von 2° Breitengrad x 2° Längengrad-Gitterzellen, die den Südwestatlantik abdecken, stiegen die Oberflächentemperaturen zwischen den 1920er und den 1990er Jahren je nach Region um etwa 0,5–1,0 °C. Anschließend gab es zwischen den 1990er und 2010er Jahren eine Pause in der Erwärmung der Oberfläche, deren genauer Zeitpunkt und Ausmaß ebenfalls von der Region abhingen. Diese Pause war durch zwei Jahrzehnte der Abkühlung der Oberfläche gekennzeichnet, gefolgt von einer raschen Wiederaufnahme des Aufwärtstrends der Erwärmung in den letzten Jahren. Dies bedeutete insbesondere, dass der Zeitraum 1996–2016 im südlichen Teil des Südwestatlantiks (d. h. Scotia-See, Elephant Island und Westantarktische Halbinsel) im Durchschnitt kälter war als 1976–1995 (Abbildung 1).



Quelle: [Atkinson et al., 2022](#)

[Zum Vergrößern anklicken](#)

Link:

<https://notrickszone.com/2026/04/11/new-study-no-linear-warming-or-glacier-retreat-along-northern-antarctic-peninsula-since-1980s/>

Übersetzt von Christian Freuer für das EIKE

Nein, BBC, Katastrophenschäden lassen sich nicht mit dem Klimawandel in Verbindung bringen

geschrieben von Chris Frey | 20. April 2026

Anthony Watts

Die Darstellung von Modellberechnungen in Billionenhöhe als feststehende wirtschaftliche Tatsache ist schlechter Journalismus, und die BBC sollte sich schämen, solch leicht widerlegbaren Unsinn als Tatsache zu präsentieren. Das ist hier die wahre Katastrophe.

In der jüngsten [Veröffentlichung](#) „The US is now paying more than any other country for climate change damage, study suggests“ (Die USA zahlen laut einer Studie mittlerweile mehr als jedes andere Land für Klimaschäden) in der Rubrik „Science Focus“ der British Broadcasting Corporation (BBC) wird behauptet, dass die Vereinigten Staaten „mittlerweile mehr als jedes andere Land für Klimaschäden zahlen“, und beruft sich dabei auf eine Studie, welche die Verluste der USA seit 1990 auf 16,2 Billionen Dollar schätzt. Dies ist eine erfundene Lüge. Jahrzehntelange, von Fachkollegen begutachtete Forschung zu Katastrophenschäden zeigt keinen nachweisbaren langfristigen Trend bei normalisierten wetterbedingten Schäden, die auf einen vom Menschen verursachten Klimawandel zurückzuführen sind, und die BBC verwechselt fälschlicherweise Wetter mit Klima.

Die BBC stützte ihren Bericht auf eine [Studie](#) von Forschern der Stanford University, die schreiben: „Der Klimawandel verursacht weltweit messbare Schäden.“ Sie räumen ein, dass keine Forschungsergebnisse Verluste und Schäden durch Extremwetterereignisse mit dem Klimawandel in Verbindung bringen; eine Wissenslücke, die sie zu schließen versuchen, indem sie politisch motivierte, fehlerhafte Schätzungen der sozialen Kosten von Kohlenstoff auf ökonometrische Modelle anwenden, welche in Simulationen die Kohlendioxidemissionen mit der gesamtwirtschaftlichen Leistung verknüpfen und dabei untersuchen, wie hoch die Wirtschaftsleistung gewesen wäre, wenn sich die Erde nicht leicht erwärmt hätte.

Die aus dem Modell abgeleiteten BIP-Schätzungen der Studie stellen nicht dokumentierte oder beobachtete Schäden dar, wie der BBC-Bericht suggeriert. Es besteht ein entscheidender Unterschied zwischen ökonometrischer Modellierung und realen Schadensdaten.

Dr. Roger Pielke Jr. untersuchte in seiner umfassenden [Übersicht](#) „Climate Change and Disaster Losses“ aus dem Jahr 2023 die begutachtete Literatur zur Normalisierung und stellte überwiegend fest, dass der Anstieg der gemeldeten Katastrophenschäden durch erhöhte Gefährdung, Wohlstand und Entwicklung erklärt wird – nicht durch den Klimawandel.

Das ist keine Randthese, sondern reflektiert die vorherrschende Schlussfolgerung in der bestehenden wissenschaftlichen Literatur.

Normalisierung

Wie Pielke im [Abstract](#) seiner Arbeit aus dem Jahr 2020 erläutert, muss man klimatische Veränderungen von gesellschaftlichen Veränderungen unterscheiden, um Katastrophenschäden zu verstehen. Wenn die Schäden unter Berücksichtigung von Inflation, Bevölkerungswachstum und ausgebauter Infrastruktur „normalisiert“ werden, verschwinden die Aufwärtstrends weitgehend. Seine Übersicht untersuchte 54 zwischen 1998 und 2020 veröffentlichte Normalisierungsstudien und fand „kaum Belege für die Behauptung, dass irgendein Teil des auf Klimaskalen dokumentierten Gesamtanstiegs der globalen wirtschaftlichen Schäden auf

vom Menschen verursachte Klimaveränderungen zurückzuführen ist“.

Ebenfalls in seiner Veröffentlichung fasst Pielke die Schlussfolgerung des Fünften [Sachstandsberichts](#) (AR5) des IPCC zusammen, wonach „die Entwicklung der Schäden nicht eindeutig auf den anthropogenen Klimawandel zurückgeführt werden kann“. Allein diese Aussage steht in direktem Widerspruch zur Darstellung der BBC.

Die von Pielke in seiner Übersicht von 2023 veröffentlichten visuellen Tabellen, insbesondere die zusammenfassende Normalisierungstabelle (siehe unten) zeigen, dass bei Hurrikanen, Überschwemmungen, außertropischen Stürmen, Tornados und Waldbränden die Mehrheit der begutachteten Studien keine Trends bei den normalisierten Verlusten feststellt und diese nicht auf Treibhausgasemissionen zurückführt.

Table 1: Normalisation papers reviewed in Pielke 2020.

Study (ordered by date of publication)	Phenomenon (region)	Detection claimed to be achieved?	Trend direction	Attribution claimed to be achieved?	Period (Italics = >30 years)
STUDIES FOCUSED ON SPECIFIC PHENOMENA					
<i>Tropical cyclones</i>					
Martinez (2020)	United States	No	n/a	No	1900–2018
Gristed et al. (2019)	United States	Yes	Increase	Yes	1900–2018
Chen et al. (2018)	China	No	n/a	No	1983–2015
Ye and Fang (2018)	China	Yes	Decrease	No	<i>1985–2010</i>
Weinkle et al. (2018)	United States	No	n/a	No	1900–2017
Klotzbach et al. (2018)	United States	No	n/a	No	1900–2016
Fischer et al. (2015)	China	No	n/a	No	<i>1984–2013</i>
Estrada et al. (2015)	United States	Yes	Increase	No	1900–2005
Bouwer and Wouter Botzen (2011)	United States	No	n/a	No	1900–2005
Nordhaus (2010)	United States	Yes	Increase	No	1900–2005
Zhang et al. (2009)	China	No	n/a	No	1983–2006
Schmidt et al. (2009)	United States	No	n/a	No	1950–2005
Pielke et al. (2008)	United States	No	n/a	No	1900–2005
Pielke et al. (2003)	Latin America and Caribbean	No	n/a	No	1944–1999
Raghavan and Rajesh (2003)	India	No	n/a	No	<i>1977–1998</i>
Collins and Lowe (2001)	United States	No	n/a	No	1900–1999
Pielke and Landsea (1998)	United States	No	n/a	No	1926–1995
<i>Floods</i>					
Du et al. (2019)	China	Yes	Decrease	No	1990–2017
Paprotny et al. (2018)	Europe	No	n/a	No	1870–2016
Wei et al. (2018)	China	Yes	Decrease	No	2000–2015
Fang et al. (2018)	China (Yangtze River)	Yes	Decrease	No	<i>1998–2014</i>
Perez-Morales et al. (2018)	Spain	No	n/a	No	1975–2013
Stewens et al. (2016)	United Kingdom	No	n/a	No	1884–2013
Barredo et al. (2012)	Spain	No	n/a	No	1971–2008
Hilker et al. (2009)	Switzerland	No	n/a	No	1972–2007
Chang et al. (2009)	Korea	No	Increase	No	1971–2005
Barredo (2009)	Europe	No	n/a	No	1970–2006
Downton et al. (2005)	United States	Yes	Decrease	No	1926–2000
Fengqing et al. (2005)	China	No	n/a	No	1950–2001
Pielke and Downton (2000)	United States	No	n/a	No	1932–1997
<i>Extratropical storms</i>					
Andres and Badoux (2019)	Switzerland	No	n/a	No	1972–2016
Stucki et al. (2014)	Switzerland	No	n/a	No	1859–2011
Barredo (2010)	Europe	No	n/a	No	1970–2008
<i>Tornadoes</i>					
Simmons et al. (2013)	United States	No	n/a	No	1950–2011
Brooks and Doswell (2001)	United States	No	n/a	No	1890–1999
Boruff et al. (2003)	United States	No	n/a	No	1900–2000
<i>Convective storms</i>					
Sander et al. (2013)	United States	Yes	Increase	No	1970–2009
<i>Wildfire</i>					
Crompton et al. (2010)	Australia	No	n/a	No	1925–2009
Study (ordered by date of publication)	Region (location & phenomena)	Detection claimed to be achieved?	Trend direction	Attribution claimed to be achieved	Period (italics = <3 years)
STUDIES FOCUSED ON PARTICULAR REGIONS					
<i>Region</i>					
Choi et al. (2019)	Korea (weather)	Yes	Decrease	No	1965–2015
Reyes and Elias (2019)	United States (crop loss)	Yes	Mixed	No	<i>2001–2016</i>
McAneney et al. (2019)	Australia (weather)	No	n/a	No	1966–2017
Paul and Sharif (2018)	Texas (hydrometeorological)	No	n/a	No	1960–2016
Bahinipati and Venkatchalam (2016)	India (weather)	No	n/a	No	1972–2009
Zhou et al. (2013)	China (natural disasters)	No	n/a	No	1990–2011
Crompton and McAneney (2008)	Australia (weather)	No	n/a	No	1967–2006
Choi and Fisher (2003)	United States (weather)	No	n/a	No	1951–1997
<i>World</i>					
Pielke (2019)	All disasters & weather only	Yes	Decrease	No	<i>1990–2017</i>
Watts et al. (2019)	All disasters	No	n/a	No	1990–2016
Daniell et al. (2018)	Multi-hazard	Yes	Decrease	No	1950–2015
Mohleji and Pielke (2014)	All-weather related	No	n/a	No	<i>1980–2008</i>
Neumayer and Barthel (2011)	All-weather related	No	n/a	No	<i>1980–2008</i>
Visser et al. (2014)	All-weather related	No	n/a	No	<i>1980–2010</i>
Miller et al. (2008)	All-weather related	No	n/a	No	1950–2005

Mehr Eigentumswerte

Tatsächlich identifiziert Pielke in seiner bis 2023 aktualisierten Studie weltweit 62 relevante Normalisierungsstudien, von denen 61 keine Aussagen zur Ursachenzuordnung treffen. Die Normalisierung ist unerlässlich, weil die wirtschaftlichen Verluste zunehmen, je wohlhabender Gesellschaften werden. Ein Hurrikan, der heute Florida erreicht, trifft weitaus mehr Sachwerte als einer, der die gleiche Küste im Jahr 1950 oder früher heimgesucht hätte. Das bedeutet nicht, dass der Sturm stärker ist. Es bedeutet, dass der Schaden größer ist, weil mehr Menschen die Küstengebiete besiedelt haben und dort im Vergleich zu früheren Jahrzehnten mehr Immobilien-Infrastruktur vorhanden ist. Floridas **Bevölkerung** betrug 1950 knapp über 2,7 Millionen, überstieg jedoch bis 2024 die 23-Millionen-Marke. Die Zahl der Häuser in Florida ist von rund 600.000 im Jahr 1950 auf heute über 10 Millionen gestiegen, was zu einer viel höheren Dichte an **Vermögenswerten** in hochrisikobehafteten Küstengebieten geführt hat.

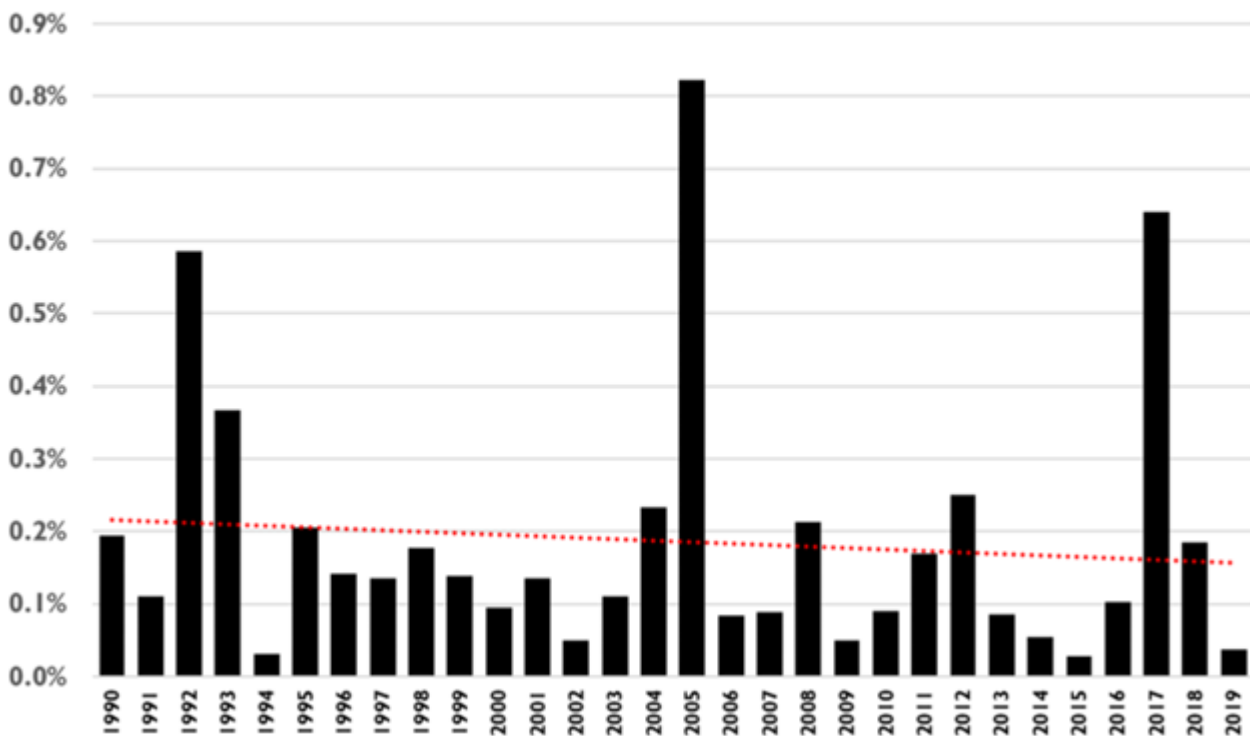
In einem **Substack-Beitrag** aus dem Jahr 2022 zeigte Pielke, wie sehr sich Miami Beach in knapp 100 Jahren verändert hat und wie viel mehr Infrastruktur heute vorhanden ist:



Pielke veröffentlichte 2024 einen zweiten begutachteten **Artikel** in der Fachzeitschrift „Nature“ und fügte die nachstehende Grafik bei:

US Weather and Climate Disasters: 1990 to 2019 as a proportion of GDP

Sources: SHELDUS, OMB



Dieser Abwärtstrend ist eine unumstößliche wissenschaftliche Tatsache, die der Position der BBC widerspricht.

Die Behauptung des BBC-Artikels bezüglich der Billionen-Dollar-Verluste stützt sich auf kontrafaktische BIP-Modellierungen und nicht auf normalisierte Daten zu Katastrophenschäden. Dabei werden Zusammenhänge zwischen Temperatur und BIP extrapoliert und anschließend die finanzielle Haftung auf die einzelnen Länder verteilt. Dieser Ansatz geht davon aus, dass Temperaturabweichungen die Wirtschaftsleistung direkt und messbar beeinträchtigen, wobei sich dieser Effekt über Jahrzehnte hinweg verstärkt. Er isoliert nicht die tatsächlichen Katastrophenschäden, sondern modelliert hypothetische Wirtschaftswelten.

Verswinden

Im Gegensatz dazu untersuchen Normalisierungsstudien reale Daten zu Katastrophenschäden, die um das gesellschaftliche Wachstum bereinigt wurden. Wenn man dies tut, verschwinden langfristige Trends weitgehend.

Pielke stellt ausdrücklich klar, dass das Fehlen von Nachweisen oder Zuordnungen bei Katastrophenschäden den Klimawandel nicht leugnet. Es reflektiert lediglich, was die empirische Literatur zeigt. Es gibt in den normalisierten Katastrophenschäden kein statistisch robustes Signal, das auf Treibhausgasemissionen zurückgeführt werden könnte.

Dies steht in vollem Einklang mit dem Sechsten [Sachstandsbericht](#) (AR6) des IPCC, der weiterhin große Unsicherheiten bei der Verknüpfung von

aggregierten wirtschaftlichen Verlusten mit dem anthropogenen Klimawandel einräumt.

Die beobachteten normalisierten Katastrophenschäden stützen nicht die Behauptung, dass die Vereinigten Staaten aufgrund des Klimawandels in einzigartiger Weise „mehr als jedes andere Land zahlen“. Der Anstieg der wirtschaftlichen Verluste im Laufe der Zeit lässt sich überwiegend durch das Wachstum des Wohlstands und der Gefährdung erklären.

Betrachtet man die begutachteten Normalisierungsstudien in ihrer Gesamtheit, wird das Muster deutlich. Es gibt keinen nachweisbaren, auf Treibhausgasemissionen zurückzuführenden Aufwärtstrend bzgl. Katastrophenschäden.

Tatsächlich ist das BIP der USA in der jüngsten Phase der leichten globalen Erwärmung erheblich gestiegen. Das Gegenteil müsste der Fall sein, wenn der Klimawandel wirtschaftliche Verluste in Höhe von mehreren Billionen Dollar verursachen würde. Tatsächlich kann die Studie kein einziges extremes Wetterereignis explizit mit menschlichen Emissionen oder den entstandenen Verlusten in Verbindung bringen. Die Verluste sind alle in Computersimulationen enthalten und finden in der realen Welt keine Bestätigung.

Modellberechnungen in Billionenhöhe als gesicherte wirtschaftliche Tatsache zu präsentieren, ist schlechter Journalismus, und die BBC sollte sich schämen, solch leicht widerlegbaren Unsinn als Tatsache zu präsentieren. Das ist die wahre Katastrophe in diesem Fall.

This [article](#) was published first on [climaterealism.com](#) on 10 April 2026.

Anthony Watts

[Anthony Watts](#) is a senior fellow for environment and climate at The Heartland Institute. Watts has been in the weather business both in front of, and behind the camera as an on-air television meteorologist since 1978, and currently does daily radio forecasts. He has created weather graphics presentation systems for television, specialized weather instrumentation, as well as co-authored peer-reviewed papers on climate issues. He operates the most viewed website in the world on climate, the award-winning website [wattsupwiththat.com](#).

Link:

<https://clintel.org/no-bbc-disaster-losses-cant-be-tied-to-climate-change/>

Übersetzt von Christian Freuer für das EIKE

Höhlenfunde zeigen, dass das heutige Wüstenklima vor nicht allzu langer Zeit weitaus wärmer und feuchter war und es von Leben wimmelte

geschrieben von Chris Frey | 20. April 2026

[Kenneth Richard](#)

Fuerteventura, eine der acht größten Kanarischen Inseln, war während des frühen bis mittleren Holozäns nicht die „Wüste im Ozean“, die sie heute ist.

Wissenschaftler ([Sánchez-Marco et al., 2026](#)) haben in einer Höhle auf Fuerteventura, der trockensten der Kanarischen Inseln, Überreste mehrerer Vogelarten geborgen, von denen bekannt ist, dass sie an den Rändern von Gewässern (z. B. Lagunen, Seen, Flüssen) mit Ufervegetation und dichten Wäldern leben. Die Knochen stammen aus einer Zeit vor etwa 9000 bis 5000 Jahren.

Diese Entdeckung zeigt „unerwarteterweise“, dass das Klima im Holozän deutlich wärmer war als heute (um etwa „3 bis 7 °C“). Vor einigen tausend Jahren war es zudem auch „deutlich feuchter als heute“, sodass Regionen, die heute trocken und weitgehend unbewohnbar sind, vor nicht allzu langer Zeit eine weitaus größere Vielfalt an Pflanzen- und Tierarten beherbergen konnten.

Die kühlere Landschaft auf Fuerteventura ist heute von Sanddünen bedeckt und gilt als trockene Wüste, fällt doch dort jährlich nur 100–150 mm Niederschlag. Die Insel bietet keinen Lebensraum mehr für Wasservögel oder andere Arten, die auf hohe jährliche Niederschlagsmengen angewiesen sind.

„Jüngste Eiskernanalysen aus Nordgrönland zeigen, dass die höchsten Temperaturen des Holozäns zwischen 10 und 7 ka BP auftraten und 3 bis 7 °C über den heutigen Werten lagen. Dies lässt darauf schließen, dass die hier untersuchten Tiere unter wärmeren Bedingungen starben als den heute vorherrschenden.“

„Es scheint wahrscheinlich, dass sich in der Nähe der Höhle eine Lagune oder ein Teich befand, um den sich ausgedehnte Ufervegetation entwickelte. Ebenso befanden sich wahrscheinlich auch bewaldete Gebiete mit Unterholz in der Nähe der Höhle, in denen sogar Wendehälse vorkamen. Die ornithologischen Funde aus der Cueva del Llano deuten darauf hin, dass das vorherrschende Klima auf den Kanarischen Inseln in den frühen Phasen des Holozäns wesentlich feuchter war als heute. Auf Fuerteventura

gab es Gewässer mit Ufervegetation und mehr oder weniger dichte Waldgebiete mit strauchartigem Unterholz. Höhere globale Temperaturen als heute könnten zu Veränderungen in den jährlichen Verschiebungen des Azorenhochs geführt und ein intensiveres Niederschlagsregime begünstigt haben, was den Erhalt vielfältigerer Lebensräume und folglich eine deutlich vielfältigere Vogelwelt als heute förderte. Die mit diesen Lebensräumen verbundenen Vogelarten sind wahrscheinlich mit den Klimaveränderungen verschwunden, die zu deutlich trockeneren und kälteren Bedingungen führten.“

@Quaternary

Unerwartetes Klima, enthüllt durch eine Vogelgemeinschaft aus dem mittleren Holozän von Fuerteventura (Kanarische Inseln)

von Antonio Sánchez-Marco 1, Ricardo Sánchez-Sastre 2 und Carolina Castillo 3

Quaternary 2026, 9(2), 20; <https://doi.org/10.3390/quat9020020>

Veröffentlicht: 1. März 2026

Quaternary

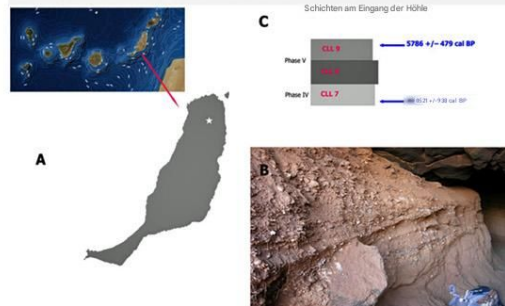
Eine Gruppe von Vogelarten, hauptsächlich kleine Singvögel, ermöglicht es uns, die Landschaft und das allgemeine Klima eines Gebiets von Fuerteventura vor der Ankunft der ersten Menschen zu rekonstruieren. Viele der Vogelarten sind typisch für Waldgebiete und die Ränder von Gewässern, Bedingungen, die mit dem heutigen heißen und trockenen Klima unvereinbar sind. Der Nachweis einer hohen Anzahl von Wachteln sowie kleiner fliegender Singvögel deutet sicherlich auf das gleichzeitige Vorkommen zweier Arten tagaktiver Greifvögel hin, Jäger am Boden bzw. im Flug. Es wurde keine Spur des häufigen Puffinus houleae gefunden, der offensichtlich einen ganz anderen Lebensraum bewohnte als die im Norden und im Landesinneren der Insel.

In den letzten Jahren wurden große Fortschritte beim Verständnis der Vögel erzielt, die auf den Kanarischen Inseln ankamen und dort lebten. Die meisten Informationen wurden in den letzten dreißig Jahren gewonnen. Bis jetzt wurde keine ornithologische Vereinigung untersucht, die in dem von uns vorgestellten Zeitraum gegründet wurde. Nicht die gesamte, aber ein wesentlicher Teil der Bibliographie findet sich in [1]. Bisherige Funde von Vogelskeletten in quartären Sedimenten auf den verschiedenen Inseln deuten nicht auf deutlich von den heutigen abweichende Klimabedingungen hin. Diese Arbeit präsentiert eine Studie von Vogelknochen

aus der Fundstätte Cueva del Llano (UTM-Koordinaten: 607,237,98-3,170,403,41) im Norden Fuerteventuras, in der Gemeinde La Oliva (Abbildung 1A). Diese Höhle ist Teil eines vulkanischen Tunnels im Norden der Insel Fuerteventura, unweit des Dorfes Villaverde. Der Tunnel verzweigt sich in mehrere Arme. Die hier beschriebenen Sedimentschichten befinden sich im „Ramal Nuevo“ (Neuer Arm) des Tunnels, der etwa 25 m lang, 1,5 bis 3 m hoch und durchschnittlich 2 m breit ist. Vulkanische Tunnel sind von großer Bedeutung für die Erhaltung paläontologischer Informationen auf vulkanischen und ozeanischen Inseln wie den Kanarischen Inseln [2,3,4,5,6].

Die Kanarischen Inseln liegen in der Nähe des Wendekreises des Krebses und befinden sich damit im Breitengradbereich subtropischer Klimate. Fuerteventura ist eine der westlichen Inseln und liegt nur 10 km von Afrika entfernt. Das Azorenhoch und die Passatwinde haben einen entscheidenden Einfluss auf das Klima des Kanarischen Archipels. Dies trägt, zusammen mit der flachen Topographie, zu sehr geringen jährlichen Niederschlägen bei, was nach der Köppen-Klassifikation zu einem heißen und trockenen Klima führt. Die grönländische Eisdecke hat sich im Laufe des Quartärs infolge von Klimaschwankungen vergrößert und verkleinert. Jüngste Eiskernanalysen aus Nordgrönland zeigen, dass die höchsten Temperaturen im Holozän zwischen 10 und 7 ka BP auftraten, 3 bis 7 °C wärmer als heute [16]. Dies deutet darauf hin, dass die hier untersuchten Tiere unter wärmeren Bedingungen starben als den heute vorherrschenden

Abbildung 1. Karte der Insel Fuerteventura mit (A) Lage der Höhle El Llano (weißer Stern) auf der Insel Fuerteventura (grau), innerhalb des Kanarischen Archipels und nahe der afrikanischen Küste; (B) Detail der hohen Konzentration an Fossilienresten in einem Teil der Phase-V-Füllung (Foto von P. Oromi); und (C) Schema der Stratigraphie und Datierung.



Es erscheint wahrscheinlich, dass sich in der Nähe der Höhle eine Lagune oder ein Teich befand, um den herum sich große Gebiete mit Ufervegetation entwickelten. Ebenso gab es wahrscheinlich in der Nähe der Höhle bewaldete Gebiete mit Unterholz, in denen sogar Wendehälse vorkamen. Die ornithologischen Aufzeichnungen aus der Cueva del Llano deuten darauf hin, dass das vorherrschende Klima auf den Kanarischen Inseln in den frühen Stadien des Holozäns viel feuchter war als heute. Auf Fuerteventura gab es Gewässer mit Ufervegetation und mehr oder weniger dichte Waldgebiete mit strauchartigem Unterholz. Höhere globale Temperaturen als die heutigen [16] könnten zu Veränderungen der jährlichen Verlagerungen des Azorenhochs geführt und ein intensiveres Niederschlagsregime begünstigt haben, was den Erhalt vielfältigerer Lebensräume und folglich einer deutlich vielfältigeren Vogelfauna als heute förderte. Die an diese Lebensräume gebundenen Vögel verschwanden wahrscheinlich mit den Klimaveränderungen, die zu deutlich trockeneren Bedingungen führten

Ein beträchtlicher Anteil der in Cueva del Llano identifizierten Arten lebt derzeit nicht auf Fuerteventura oder gar auf den Kanarischen Inseln. Drei Arten, die in Wäldern leben oder die Vegetation an Flussufern und Lagunen bevorzugen, kommen heute nicht auf den Kanarischen Inseln vor: Aegithalos caudatus, Cettia cetti und Cisticola juncidis. Einige Vögel kommen auf anderen Inseln vor; aber nicht auf Fuerteventura: Luscinia luscinia, Regulus sp., Turdus merula und Serinus canaria, die alle typisch für Waldgebiete sind. Calonectris diomedea/borealis ist eine ozeanische Art, die an Land kommt, um einen Bau zu graben und zu brüten. Der Boden muss sehr locker sein, wie zum Beispiel leicht verfestigter Sand

Quelle: [Sánchez-Marco et al., 2026](#) [Zum Vergrößern anklicken](#)

Link:

<https://notrickszone.com/2026/04/13/cave-discovery-reveals-todays-desert-climates-were-recently-far-warmer-wetter-teeming-with-life/>

Übersetzt von Christian Freuer für das EIKE

Kältereport Nr. 16 /2026

geschrieben von Chris Frey | 20. April 2026

Meldungen vom 13. April 2026:

Blizzards in den Hochlagen von Schottland

Kalte Luft ist wieder nach Europa vorgedrungen und hat in höheren Lagen – darunter auch in Schottland – für Neuschnee gesorgt.

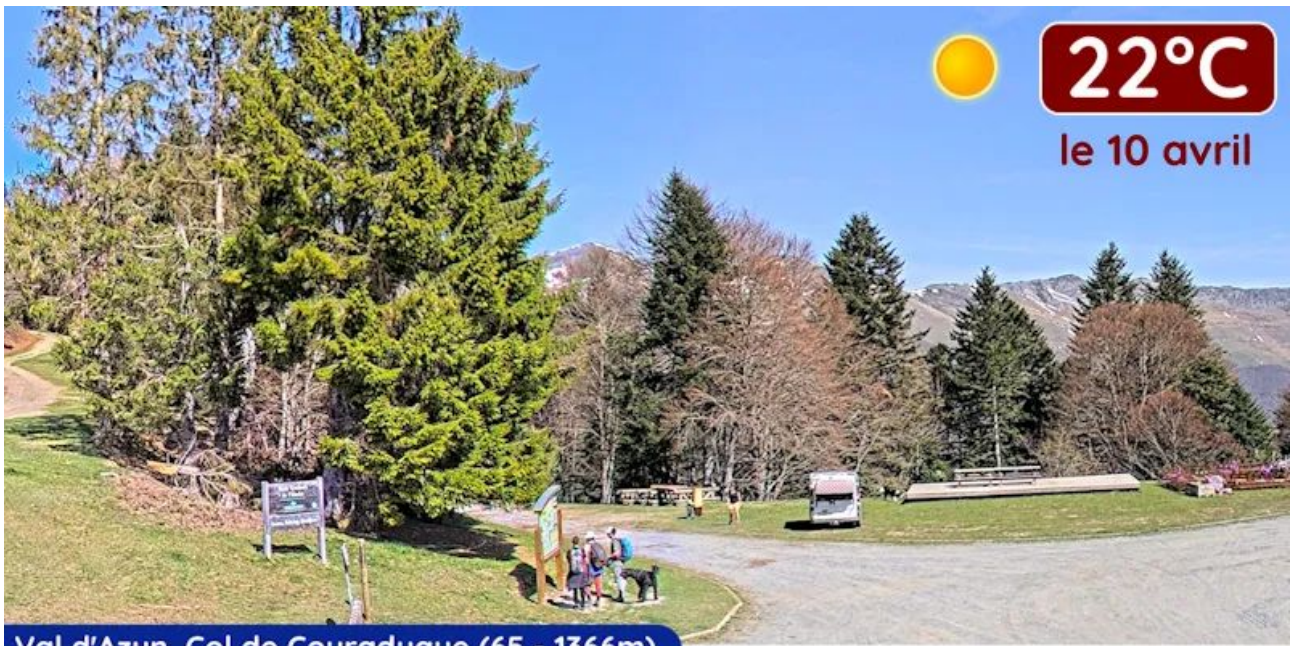
Am Cairngorm Mountain fiel das ganze Wochenende über Neuschnee, wobei das Skigebiet weiterhin in Betrieb ist.

Etwa 100 km westlich davon meldete das Glencoe Mountain Resort am Sonntagmorgen Schneesturmbedingungen. Starke Winde schränken den Betrieb ein, doch in den höheren Lagen ist die Schneedecke sehr hoch.*

Beide Skigebiete bleiben für Skifahrer geöffnet.

Trotz aller Klagen des britischen Establishments wird die Schneedecke in Schottland als die beste seit fast einem Jahrzehnt beschrieben, und es soll noch mehr Schnee kommen.

Ähnlich hat sich auf dem Kontinent ein weiterer extremer „Schwung“ vollzogen, am deutlichsten sichtbar am Col de Couradique (1.366 m) in den Pyrenäen:



Val d'Azun, Col de Couraduque (65 - 1366m)



**Einschub des Übersetzers dazu: Das Wesentliche dieses Vorgangs hat Cap Allon gar nicht erwähnt. Schnee in den schottischen Bergen ist nun wirklich nichts Besonderes – sofern die Kaltluft arktischen Ursprungs direkt von Norden einströmt. Der Weg über das eisfreie Nordmeer ist nämlich ziemlich kurz.*

Das war hier jedoch nicht der Fall! Diese Schnee bringende Kaltluft kam nicht von Norden, sondern von Westen aus dem kanadischen Kältepol. Trotz des langen Weges über den warmen Atlantik hat sich diese Luftmasse nicht so stark erwärmt, dass die Schneefallgrenze die sonst übliche Höhe erreicht hat. Dafür gibt es zwei Ursachen: entweder ist die überströmte Meeresfläche außerordentlich kalt (davon zeigen die entsprechenden Graphiken jedoch nichts) oder die Temperatur zum Startzeitpunkt der Advektion aus dem kanadischen Kältepol war so außerordentlich niedrig, dass es anderer zusätzlicher Wärme bedurft hätte, diese Luftmasse aufzuheizen. Betrachtet man die vergangenen Kältereports, ist es

ziemlich eindeutig, dass Letzteres der Fall sein dürfte. – Ende Einschub

Nordindien: Die kälteste April-Nacht in Shimla seit 47 Jahren

In Shimla, einer Bergstadt im nordindischen Bundesstaat Himachal Pradesh, sank die Temperatur auf 3,6 °C – es war die kälteste Aprilmacht seit 1979 (als 3,4 °C gemessen wurden).

Auch die Tagestemperaturen brachen ein. Die Stadt erreichte nur 11,4 °C, den niedrigsten Tageswert im April seit zehn Jahren.

Und das war kein Einzelfall.

In ganz Himachal Pradesh sind die Tagestemperaturen in den letzten Tagen stark gesunken. Auslöser sind anhaltende westliche Lagen, die wiederholt Regen und für diese Jahreszeit ungewöhnliche Schneefälle in den höheren Lagen mit sich bringen.

Ähnliche Anzeichen für ungewöhnliche Kälte in der späten Saison sind in den letzten Jahren in ganz Nordindien zu beobachten. Kälteeinbrüche im April, die mit westlichen Lagen zusammenhängen, haben die Temperaturen wiederholt deutlich unter die saisonalen Durchschnittswerte gedrückt, was zu Ernteausschlägen geführt und den Übergang zum Frühling verzögert hat.

Der Frühling kommt nicht reibungslos voran.

USA: Der extrem kalte März in Alaska

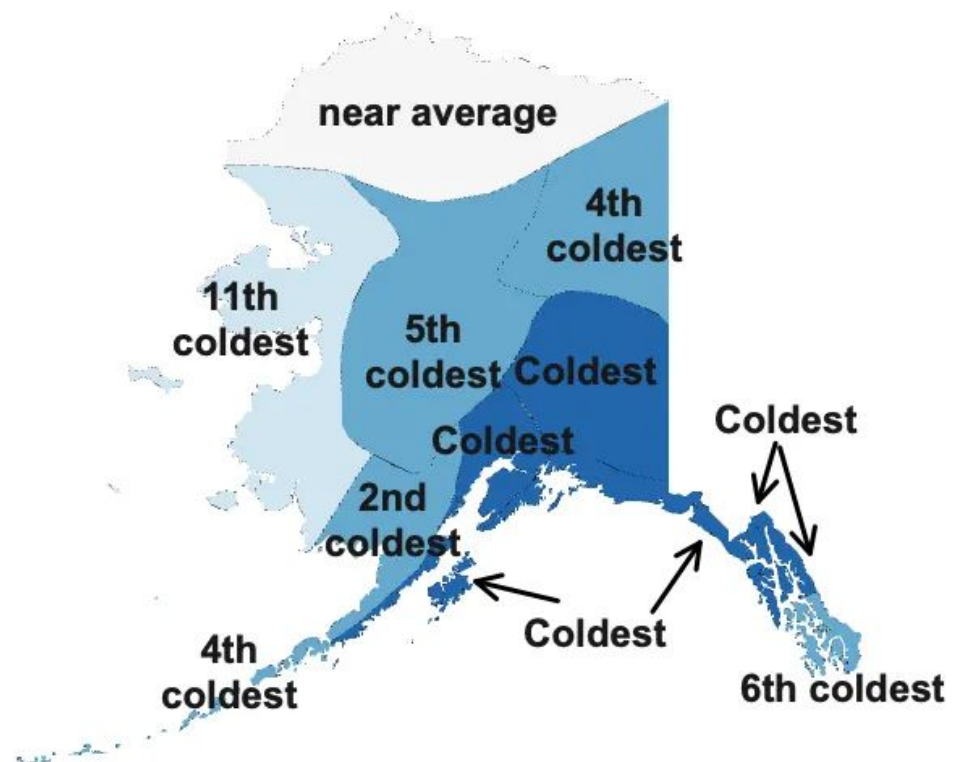
Der März 2026 war in ganz Alaska von Kälte geprägt. Laut ERA5 lagen 96 % des Bundesstaates unter dem Referenzwert. Auf Bundesstaatsebene stuft NOAA/NCEI diesen Monat als den viertkältesten seit 1925 ein.

Regional war die Kälte weit verbreitet und extrem. Rund 20 % von Alaska verzeichneten den kältesten März seit Beginn der ERA5-Aufzeichnungen (1950), wobei nur im Jahr 2007 ein größerer Teil des Bundesstaates von „extremer Kälte“ betroffen war.

Insgesamt verzeichneten sechs Klimaregionen ihren kältesten März seit Beginn der Aufzeichnungen. Elf von dreizehn landeten unter den fünf kältesten. Auf lokaler Ebene verzeichneten mehrere Landkreise und Gemeinden ihren kältesten März seit Beginn der Aufzeichnungen im Jahr 1925, darunter Anchorage, Juneau, Yakutat, Haines und Kodiak. Fairbanks erreichte seinen kältesten März seit Beginn der Aufzeichnungen.

Divisional Average Temperature Rank (102 years)

March 2026



Coldest ← Much Below Below Average Near Average Above Average Much Above → Warmest

Der Schnee hielt mit der Kälte Schritt.

Im Südosten Alaskas wurden extreme Gesamtmengen verzeichnet. Der Flughafen Juneau verzeichnete im Monatsverlauf 190 cm, was einen neuen Rekord um etwa 30 cm bedeutete. Die saisonale Schneemenge stieg über 5 m, ebenfalls ein Rekord.

Die höchste monatliche Gesamtmenge erreichte 320 cm in Snettisham in der Nähe von Juneau.

Starker Schneefall erstreckte sich über die gesamte Region. Craig verzeichnete 109 cm, Ketchikan (10N) 90 cm und Sitka 80 cm. Dies sind die höchsten monatlichen Gesamtmengen seit einem Jahrzehnt oder mehr für diese Orte.

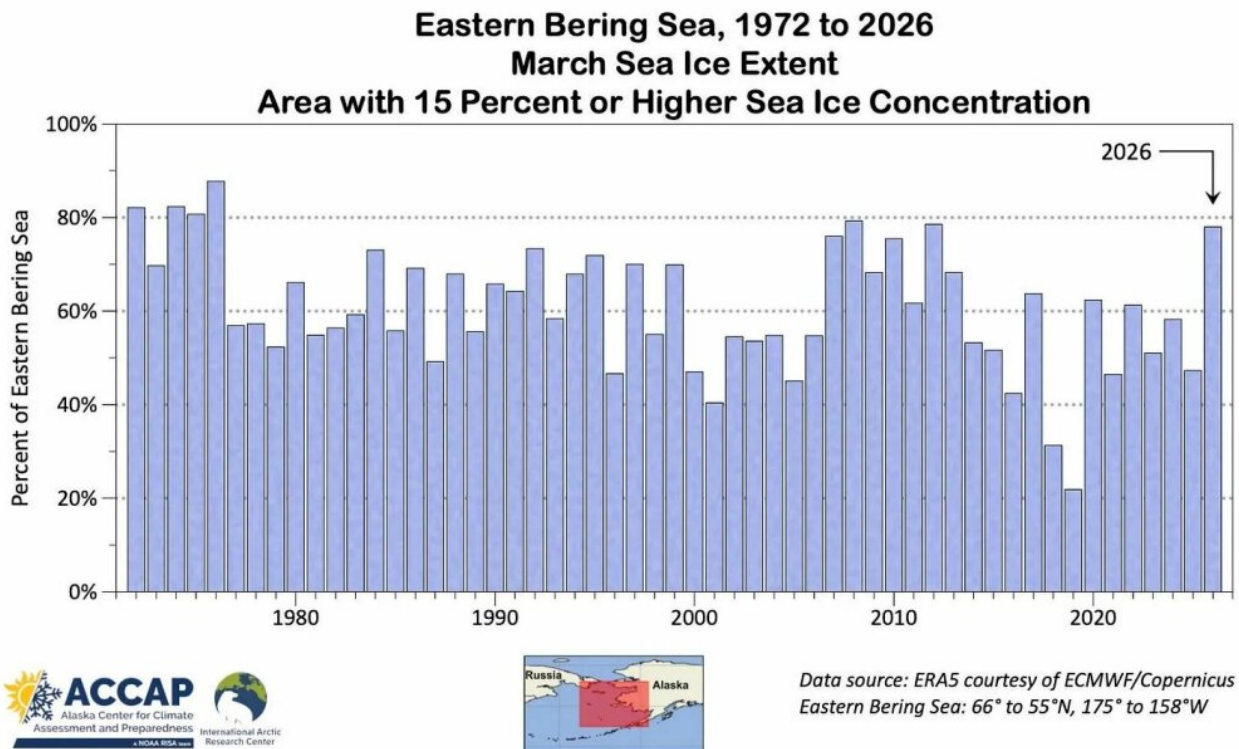
Ein überdurchschnittliches Schneewasseräquivalent bedeckte einen Großteil des östlichen Landesinneren bis hin zum Yukon und Teile des North Slope. Auch Anchorage schloss den März überdurchschnittlich ab.

Meereis verstärkte das Kältephänomen.

Im östlichen Beringmeer war eine ausgedehnte Eisbedeckung zu beobachten. Das Eis erreichte St. Paul Island am 4. März und umgab die Insel für den

Rest des Monats. Am 12. März erreichte es St. George Island und hielt sich bis zum Monatsende in der Nähe der Insel.

Die Ausdehnung im östlichen Beringmeer war vergleichbar mit den Jahren mit hoher Eisbedeckung zwischen 2008 und 2012 und lag nahe an den Werten von 1976.



März 2026: weit verbreitete Rekordkälte und starke Schneefälle vor allem im Südosten.

Link:

https://electroverse.substack.com/p/blizzards-hit-scotlands-peaks-shimla-s?utm_campaign=email-post&r=32010n&utm_source=substack&utm_medium=email

Meldungen vom 14. April 2026:

USA: Spät-saisonaler Schneesturm in der Sierra Nevada

Ein Sturm Mitte April hat in der Sierra Nevada für eine drastische Wende gesorgt.

In Palisades Tahoe fielen innerhalb von 24 Stunden 56 cm Schnee, wodurch die Gesamtmenge innerhalb von drei Tagen auf 109 cm stieg. Die Schneefallgrenze sank auf etwa 1.200 m.

Ein zweiter schwerer Sturm traf weiter südlich ein.

In der Nähe von Mammoth Lakes fiel am Wochenende über 1 m Schnee, davon allein 108 cm zwischen Freitag und Sonntag. Aufgrund der Schneesturmbedingungen musste die Interstate 80 durch die Sierra gesperrt werden.

Die Wetterumschwung ist kein Einzelfall. Im gesamten pazifischen Nordwesten ist bis zum 16. April ein neuer Sturmzyklus im Gange. Prognosen sagen weitere 25–50 cm für höhere Lagen voraus.

Wichtige Skigebiete wie Mount Baker und Crystal Mountain werden davon profitieren, da kältere Luft Mitte der Woche die Schneefallgrenze senkt. Der frühe Schneefall wird dicht sein und sich mit sinkenden Temperaturen und steigendem Schneesverhältnis verbessern.

Der Wind bleibt der wichtigste einschränkende Faktor, insbesondere in den Cascades in Oregon, wo in der Anfangsphase Windböen bis 110 km/h erwartet werden.

Nach einem schwachen Winter hat ein später Wintereinbruch Kälte und Schneefall im Westen der USA zurückgebracht.

Frankreich: Weiterhin Frühjahrs-Frost

Kalte Luft hält bis Mitte April weiterhin über weiten Teilen Europas Ein.

Am Morgen des 14. April wurde in Frankreich erneut Frost verzeichnet, vom Südwesten bis in den Norden. Die Temperaturen fielen in Mourmelon-le-Grand auf -3,4 °C und in Chaumont auf -2,2 °C.



Mourmelon-le-Grand (51)	-3,4°C
Chaumont (52)	-2,2°C
Guéret (23)	-1,9°C
Rueil-la-Gadelière (28)	-1,8°C
Fontainebleau (77)	-1,6°C
Charleville-Mézières (08)	-1,6°C
Lussac-les-Châteaux (86)	-1,6°C
Beauvais (60)	-1,1°C
Reims (51)	-0,7°C
Nevers (58)	-0,5°C

Die Frostgefahr lässt in dieser Gegend nicht nach.

Stattdessen hält der nächtliche Frost unter klarem Himmel und unter dem Einfluss polarer Luft an – ein anhaltendes Kaltwetterphänomen, das Westeuropa erfasst hat, wo der Frühling ins Stocken geraten ist.

Für die Landwirte hat die wiederholte Frostgefahr dazu geführt, dass sie Frostkerzen angezündet haben.

Link:

https://electroverse.substack.com/p/late-season-surge-hits-sierra-spring?utm_campaign=email-post&r=320l0n&utm_source=substack&utm_medium=email

Eine Meldung vom 15. April 2026:

USA: Kaltluftvorstoß im Nordosten droht

An diesem Wochenende zieht eine kräftige Kaltfront über den mittleren und östlichen Teil der Vereinigten Staaten hinweg, wodurch die derzeitige Wärme ein Ende findet und die Temperaturen wieder deutlich unter den Durchschnitt sinken.

Der Auslöser liegt weiter nördlich. Eine Troglage, die mit dem anhaltenden Polarwirbel über der Hudson Bay verbunden ist – der für Mitte April immer noch ungewöhnlich stark ist –, lässt kältere Luft nach Süden strömen, während sich der Hochdruckkeil östlich davon auflöst.

Dies wird auch kein Einzelfall bleiben.

Die neuesten Modellläufe zeigen ein sich wiederholendes Muster: Über dem Osten baut sich ein Hoch auf, das dann zusammenbricht, wenn sich eine neue Tiefdruckrinne festsetzt. Jeder Zusammenbruch ebnet den Weg für einen weiteren Kälteeinbruch aus Süden.

Der Jetstream mäandriert stark und verläuft nicht zonal. Das sorgt für starke Schwankungen.

Stürme ziehen während jedes Übergangs entlang der Grenze, gefolgt von kälterer Luft. Die nördlichen Gebiete sind dem höchsten Risiko für Spätfrost ausgesetzt.

Das Kältereservoir über dem arktischen Kanada bleibt intakt.

Weiter südlich bleibt das Muster bestehen: Wärmeeinschübe. Dann kehrt die Kälte zurück.

Link:

https://electroverse.substack.com/p/cold-front-to-slam-eastern-us-antarctic?utm_campaign=email-post&r=320l0n&utm_source=substack&utm_medium=email

Eine Meldung vom 16. April 2026:

Kanada: Immer noch Schneezuwachs in den Rocky Mountains

Das Skigebiet Marmot Basin in den kanadischen Rocky Mountains in Alberta ist Mitte April noch immer in Hochform.

In den letzten 48 Stunden fielen dort 22 cm Schnee, die Schneedecke beträgt 153 cm, und alle Pisten bleiben bis in den Mai hinein geöffnet.

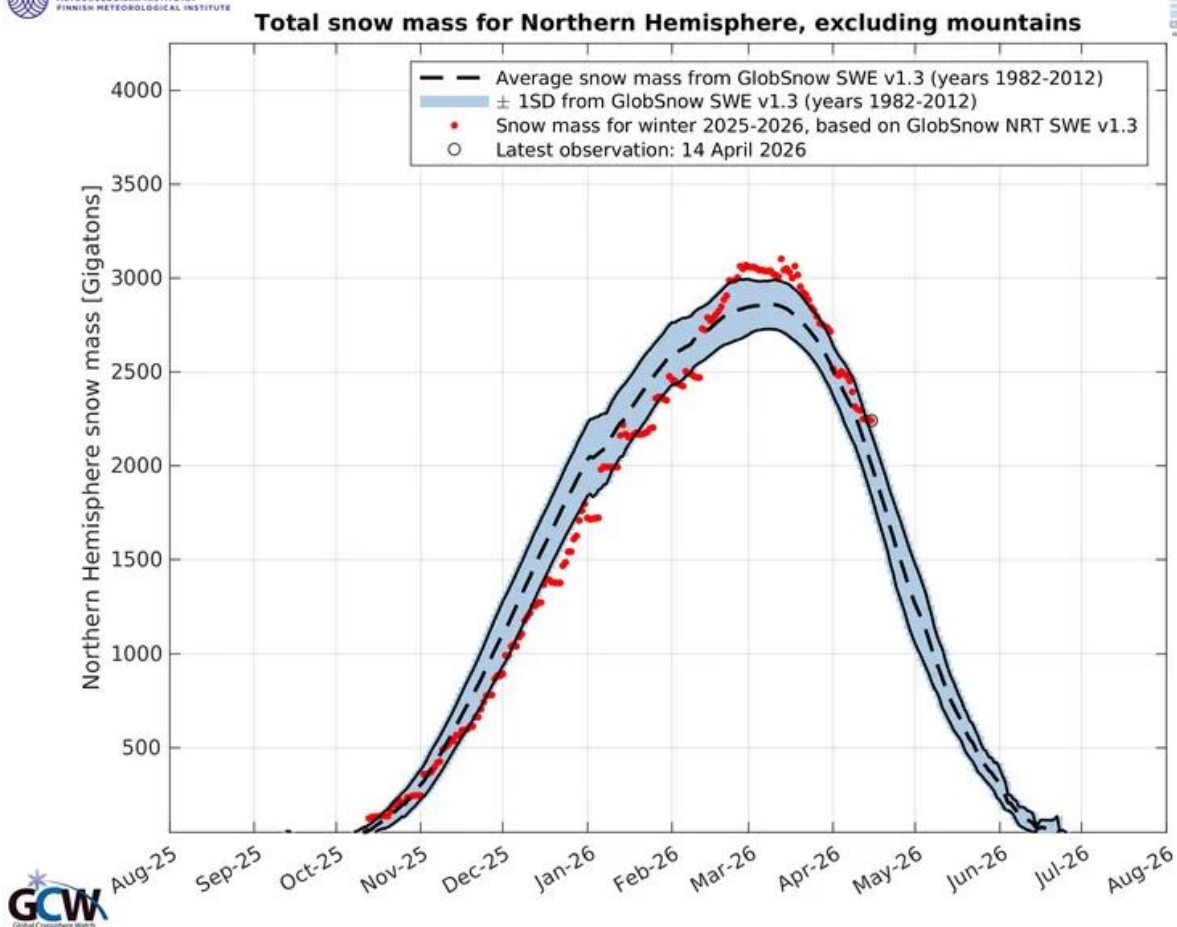
In den höheren Lagen verharren die Temperaturen unter dem Gefrierpunkt (bei etwa -6 °C bis -9 °C), wobei es die ganze Woche über weiterhin zu leichtem Schneefall und tagsüber nur zu einer sehr begrenzten Schneeschmelze kommt.

In der näheren Umgebung ist das Bild in den kanadischen Rocky Mountains einheitlich. Skigebiete im Westen Kanadas melden Neuschnee im April, wobei sich nach einer kurzen Warmphase wieder kältere Luft durchsetzt.

Dies entspricht dem allgemeinen Muster der Spätsaison.

In der gesamten nördlichen Hemisphäre liegt für diese Jahreszeit weiterhin überdurchschnittlich viel Schnee. Die neuesten FMI-Daten (14. April, siehe Grafik unten) zeigen, dass die Schneemasse über dem Normalwert liegt, sogar mehr als eine Standardabweichung darüber.

Trotz der spürbaren Schwierigkeiten im Westen der Vereinigten Staaten hält die Hemisphäre insgesamt ihre Schneedecke gut aufrecht und verliert sie nicht rapide, wie die Schlagzeilen vermuten lassen könnten. Die Rocky Mountains sind nur ein sichtbarer Teil davon.



Kurz gesagt: Der Westen bekommt noch einen späten Schub.

Ein Sturm hat kürzlich 1 m Neuschnee in die Sierra Nevada gebracht, wodurch Mammoth Mountain seine Saison bis Ende Mai verlängern kann. Geringere Schneemengen haben sich auch auf Teile des westlichen Landesinneren ausgebreitet, einschließlich der Rocky Mountains.

Kein vollständiger Aufschwung, aber sicherlich ein willkommener Schub zum Saisonende.

Link:

https://electroverse.substack.com/p/canadian-rockies-still-reloading?utm_campaign=email-post&r=320l0n&utm_source=substack&utm_medium=email

Meldungen vom 17. April 2026:

Nordindien: Schnee in Kaschmir blockiert wichtige Verkehrswege

Starke Schneefälle im April beeinträchtigen weiterhin den Verkehr in den höheren Lagen von Jammu und Kaschmir, wobei mehrere wichtige Strecken derzeit gesperrt sind.

Die Achse Sonamarg–Minamarg und der Razdan Top bleiben am Freitag aufgrund anhaltender Neuschneefälle gesperrt. Mindestens bis Sonntag wird mit weiteren Schneefällen gerechnet.

Berichte vom 17. April bestätigen anhaltende starke Schneefälle am Razdan Top.

Weiter südlich fällt auch am Sinthan Top und entlang der Mughal Road Schnee.

Die Behörden raten von Reisen auf den betroffenen Strecken bis mindestens Dienstag ab, weil man hofft, dass sich die Lage dann allmählich stabilisieren könnte.

Japan: Schnee-Korridore

Die Tateyama-Kurobe-Route wurde am 16. April für die Saison 2026 eröffnet und führt durch tiefen, festgefahrenen Winterschnee in den Nordjapanischen Alpen.

Diese Route ist bekannt für ihre Frühlingsschneewände, und diese sind wieder in voller Größe zu sehen. Der Winterdienst hat einen Korridor durch meterhohen, festgefahrenen Schnee gebahnt.

Die Schneemenge dieses Winters ist ausreichend, der Zeitplan bleibt unverändert, und der Korridor sieht so aus, wie er Mitte April aussehen sollte – das Gejammer über sein Ende hat sich einmal mehr nicht bewahrheitet:



Link:

https://electroverse.substack.com/p/kashmir-snow-shuts-key-routes-japans?utm_campaign=email-post&r=320l0n&utm_source=substack&utm_medium=email

Wird fortgesetzt mit Kältereport Nr. 17 / 2026

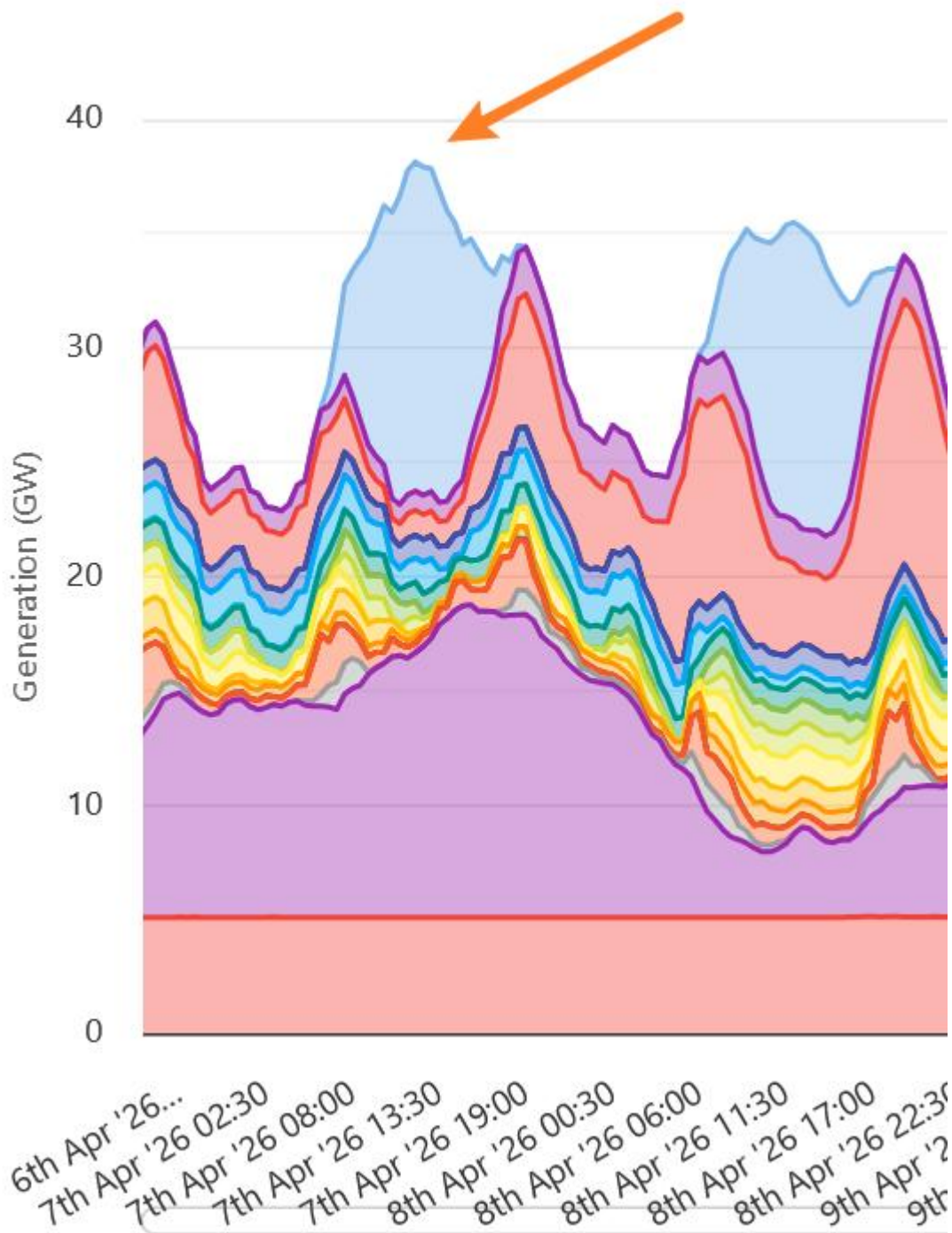
Redaktionsschluss für diesen Report: 17. April 2026

Zusammengestellt und übersetzt von Christian Freuer für das EIKE

Wie schalten wir die Sonne ab?

geschrieben von Chris Frey | 20. April 2026

Paul Homewood, [NOT A LOT OF PEOPLE KNOW THAT](#)



<https://www.solar.sheffield.ac.uk/pvlive/#>

Um auf die Geschichte vom Solarstromüberschuss zurückzukommen: Letzte Woche erreichte die Solarstromproduktion am Dienstag einen Spitzenwert von 14,4 GW.

Es ist zwar nicht beschriftet, aber der hellblaue Fleck mit dem Pfeil steht für Solarstrom. Der Gesamtbedarf lag mittags bei etwa 35 GW. Gas und Biomasse lieferten zusammen 1,9 GW, Kernkraft 5,1 GW und Windkraft 11,6 GW. Außerdem importierten wir 4,5 GW.

Spulen wir also ein paar Jahre vor, wenn wir die dreifache Menge an

Solarenergie haben, dann werden wir mindestens 40 GW haben, plus Wind- und Kernkraft.

Da Miliband auch die Windkraft verdreifachen will, könnten wir leicht 70 GW an Wind- und Solarenergie haben, die weniger als 40 GW Nachfrage decken müssen.

Laut dem Telegraph müssten wir unter solchen Umständen möglicherweise ein großes Kraftwerk dafür bezahlen, den Betrieb einzustellen. Ja, genau die Kraftwerke, die Miliband schließen will! Aber der Telegraph verkennt den Punkt – zu dieser Tageszeit werden keine Gas- oder Biomassekraftwerke zur Stromlieferung verpflichtet sein, da bereits zu viel Kapazität prognostiziert wird.

Man kann nichts abschalten, was gar nicht erst eingeschaltet ist!

Damit bleiben wir beim Problem der Kernenergie. Einen großen Reaktor wie Hinkley kann man nicht einfach hoch- und herunterfahren, sodass der Stromüberschuss noch größer wird.

Kayte O'Neill von NESO versucht auf ziemlich hinterhältige Weise, die Aufmerksamkeit abzulenken, indem sie sagt, sie sei zuversichtlich, dass „wir über die richtigen Instrumente verfügen, um einen sicheren, zuverlässigen und effizienten Betrieb des Systems zu gewährleisten“.

Das mag diesen Sommer vielleicht zutreffen, aber ihr Werkzeugkasten wird in fünf Jahren sicherlich nicht mehr viel nützen. Leider ist NESO nicht unabhängig, befindet es sich doch in staatlichem Besitz und wird direkt vom DESNZ kontrolliert.

Ein wirklich unabhängiger Netzbetreiber würde angesichts der drohenden, uns bevorstehenden Katastrophe sicherlich schon jetzt Alarm schlagen.

Link: <https://wattsupwiththat.com/2026/04/15/how-do-we-turn-the-sun-off/>

Übersetzt von Christian Freuer für das EIKE